

**Г.С. ГУРЕВИЧ
С.Н. КАНЕВСКИЙ**

**ФИЗИКА,
ПОНЯТНАЯ ВСЕМ**

**ИНДУКЦИЯ,
ВЗАИМОИНДУКЦИЯ,
САМОИНДУКЦИЯ –
ЭТО ПРОСТО**

/теория абсолютности/

УДК 533
ББК 63.22
Г95

Гуревич Г.С., Каневский С.Н.

Г95 Индукция, взаимоиנדукция, самоиндукция – это просто.
Теория абсолютности.
– М.: ИПО «У Никитских вoрот», 2015 – 116 с.

ISBN 978-5-906787-17-0

Процесс взаимодействия электронов изменяющегося электромагнитного поля с электронами проводников, находящихся в этом электромагнитном поле, называют электромагнитной индукцией. В результате этого взаимодействия в проводнике создаётся индукционный ток.

В книге исследован процесс индукции, взаимоиנדукции и самоиндукции на уровне взаимодействия электронов электромагнитных полей с электронами проводников, находящихся в этих электромагнитных полях.

В книге доказано, что электроны, образующие электромагнитные поля проводников катушки, образуют импульсное поле катушки.

В книге доказано, что сердечник, вставленный в катушку, образует магнитное поле.

В книге доказано, что поле соленоида образовано тремя полями: электромагнитными полями проводников катушки, импульсным полем катушки и магнитным полем сердечника.

На уровне взаимодействия электронов, образующих электромагнитные поля проводников катушки, импульсные поля катушек и магнитные поля сердечников, объяснена работа трансформатора.

ISBN 978-5-906787-17-0

© Гуревич Г.С., 2015

СОДЕРЖАНИЕ

| | |
|---|-----------|
| §1 ОТКРЫТИЕ ЭЛЕКТРОМАГНИТНОЙ ИНДУКЦИИ | 11 |
| 1.1 Движение проводника в магнитном поле и движение магнитного поля через проводник. | 13 |
| §2 ВНУТРЕННЯЯ СТРУКТУРА ЭЛЕКТРОМАГНИТНОЙ ИНДУКЦИИ. | 14 |
| 2.1 Создание индукционного тока. | 14 |
| 2.2 Исследование механизма образования индукционного тока | 20 |
| §3 ВЗАИМОДЕЙСТВИЕ ЭЛЕКТРОМАГНИТНОГО ПОЛЯ МАГНИТА С ПРОВОДНИКАМИ КАТУШКИ | 25 |
| 3.1 Взаимодействие неподвижного постоянного магнита с витками катушки | 26 |
| 3.2 Взаимодействие магнитного поля магнита с витками катушки при движении магнита в катушку. Создание индукционного тока в катушке | 30 |
| 3.3 Образование индукционного импульсного поля в катушке при движении магнита в катушку | 35 |
| 3.4 Взаимодействие магнитного поля магнита с проводниками катушки при движении магнита из катушки. Создание индукционного тока в катушке. | 38 |
| 3.5 Образование индукционного импульсного поля в катушке при движении магнита из катушки | 42 |
| 3.6 Взаимодействие магнитного поля магнита с индукционным импульсным полем катушки | 45 |
| §4 ВЗАИМОИНДУКЦИЯ. | 53 |
| 4.1 Процессы, происходящие в электромагнитном поле витка катушки. | 53 |
| §5 ТОКИ САМОИНДУКЦИИ. | 62 |

| | |
|--|------------|
| §6 ПЕРИОДИЧНОСТЬ ВОЗНИКАЮЩЕГО ИНДУКЦИОННОГО ТОКА В ВИТКАХ КАТУШКИ | 62 |
| §7 ПРОХОЖДЕНИЕ ПОСТОЯННОГО ТОКА ЧЕРЕЗ СОЛЕНОИД | 71 |
| §8 ВЛИЯНИЕ ТОКОВ ВЗАИМОИНДУКЦИИ В ВИТКАХ КАТУШКИ НА ПОСТОЯННЫЙ ТОК В ВИТКАХ КАТУШКИ | 74 |
| 8.1 Включение катушки в электрическую цепь | 75 |
| 8.2 Взаимодействие электромагнитных полей витков катушки при установившемся токе | 77 |
| 8.3 Выключение катушки из электрической цепи | 78 |
| §9 ПРОХОЖДЕНИЕ ТОКА В ЦЕПИ С АКТИВНЫМ И РЕАКТИВНЫМ СОПРОТИВЛЕНИЕМ | 80 |
| 9.1 Прохождение тока в цепи с резистором | 82 |
| 9.2 Прохождение тока по виткам соленоида при включении его в электрическую цепь | 83 |
| 9.3 Прохождение тока по виткам соленоида при установившемся токе | 84 |
| 9.4 Прохождение тока по виткам соленоида при выключении его из электрической цепи | 84 |
| §10 ТРАНСФОРМАТОР | 85 |
| 10.1 Первая четверть периода | 90 |
| 10.2 Вторая четверть первого периода | 95 |
| 10.3 Третья четверть периода | 99 |
| 10.4 Четвёртая четверть периода | 103 |
| §11 ТОКИ ФУКО | 108 |
| «ФИЗИКА, ПОНЯТНАЯ ВСЕМ» ПРЕДСТАВЛЕНА В СЛЕДУЮЩЕЙ КОНФИГУРАЦИИ | 110 |
| ЛИТЕРАТУРА | 112 |

§1 ОТКРЫТИЕ ЭЛЕКТРОМАГНИТНОЙ ИНДУКЦИИ

Электромагнитная индукция была открыта Фарадеем в экспериментах при замыкании и размыкании электрических цепей.

К одной из катушек подключим источник тока батарею **B**, а ко второй катушке подключим гальванометр **G** **Рис.1.1**. При перемещении катушек относительно друг друга, гальванометр покажет наличие тока во второй катушке.

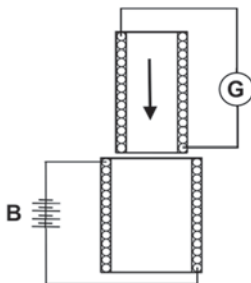


Рис. 1.1

Можно провести ещё один эксперимент. Соединим катушку с гальванометром **G**. Внутри катушки введём магнит. При движении магнита внутри катушки гальванометр покажет возникновение тока в катушке **Рис.1.2**.

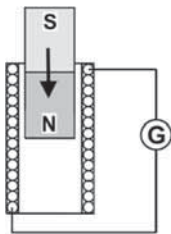


Рис. 1.2

Возьмём две катушки и вставим одну в другую. Одну катушку соединим с гальванометром, а вторую катушку соединим с источником тока **Рис.1.3**.

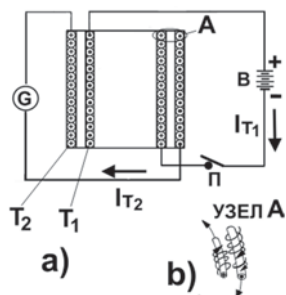


Рис. 1.3

При замыкании и размыкании переключателя **П** в цепи катушки T_1 с источником тока, во второй катушке T_2 гальванометр **Г** покажет возникновение тока.

Итак, был установлен закон.

В замкнутом проводящем контуре возникает ток при изменении числа силовых линий (линии магнитной индукции), пронизывающих поверхность, ограниченную этим контуром.

В природе нет отдельно существующих линий магнитной индукции, а есть **силовые линии**, вдоль которых по винтовым траекториям движутся электроны.

Активное, лобовое взаимодействие электрона, движущегося по винтовой траектории, представляет собой электрическое действие (электрическая индукция), а реактивное взаимодействие электрона, движущегося по винтовой траектории, представляет собой магнитное действие (магнитная индукция).

Эти два действия проявляются одновременно и не существуют одно без другого. Поэтому правильнее назвать взаимодействие электронов, движущихся по винтовым траекториям электромагнитной индукцией.

И чем быстрее меняется число линий электромагнитной индукции, тем больше возникающий ток. При этом причина изменения силовых линий совершенно безразлична. Это может быть и изменение силовых линий, пронизывающих неподвижный проводник вследствие изменения силы тока в соседней катушке, и изменение силовых линий вследствие движения контура в неоднородном электромагнитном поле.

В проводящем замкнутом контуре возникает электрический ток, если число силовых линий, пронизывающих контур, меняется. Это происходит, когда контур находится в переменном электромагнитном поле или движется в постоянном во времени электромагнитном поле.

Это явление называется электромагнитной индукцией или взаимоиנדукцией.

В книгах «Электродинамика» Г. С. Гуревич, С. Н. Каневский [10] и «Чем магнит тянет железные тела? Структура магнитного поля» Г. С. Гуревич, С. Н. Каневский [52] описана внутренняя структура электромагнитного поля.

1.1 ДВИЖЕНИЕ ПРОВОДНИКА В МАГНИТНОМ ПОЛЕ И ДВИЖЕНИЕ МАГНИТНОГО ПОЛЯ ЧЕРЕЗ ПРОВОДНИК

При движении проводника в магнитном поле в нём возникает электрический ток. Такой же ток будет возникать в проводнике при движении магнитного поля вдоль покоящегося проводника.

При включении проводника в цепь постоянного тока в проводнике начинает течь электрический ток, причём ток нарастает от нуля до определённой величины. В процессе возникновения электрического тока в проводнике, вне проводника возникает увеличивающееся электромагнитное поле.

Если в это электромагнитное поле внести второй проводник, то электромагнитное поле будет пересекать внесённый проводник и индуцировать в нём электрический ток. Процесс индуцирования электрического тока в проводнике будет происходить только в течение времени изменения электромагнитного поля первого проводника.

Электромагнитное поле изменяется только в момент включения и выключения постоянного электрического тока.

Именно потому, что процесс изменения электромагнитного поля вокруг проводника длится малый промежуток времени и только в момент включения и выключения постоянного электрического тока, физики очень долго не могли обнаружить связь возникающего тока в проводнике, расположенном в электромагнитном поле.

Эффект возникновения тока в проводнике был назван электромагнитной индукцией. Этот эффект возникновения тока в проводнике неподвластен внешнему вмешательству.

§2 ВНУТРЕННЯЯ СТРУКТУРА ЭЛЕКТРОМАГНИТНОЙ ИНДУКЦИИ

2.1 СОЗДАНИЕ ИНДУКЦИОННОГО ТОКА

Механизм возникновения электрического тока во второй катушке идентичен возникновению тока в проводнике, движущемся в магнитном поле, исследованном в книге **Гуревича Г.С и Каневского С.Н «Электродинамика» [10]**.

Отличие состоит только в том, что в одном случае движется проводник, а во втором случае движется электромагнитное поле.

Иследуем возникновение электрического тока в результате электромагнитной индукции, используя **Рис.1.3, а** на котором показано расположение катушек и их подключение. Внутренняя катушка подключена к батарее **В**, а внешняя катушка подключена к гальванометру **Г**. Переключателем **П** можно подключить или отключить внутреннюю катушку от источника тока. При включении переключателя **П** в проводнике первой катушки возникает электрический ток, который создаёт электромагнитное поле вокруг этого проводника.

Любые процессы протекают во времени. До включения первой катушки $T_1(\xi_{T_1} \cdot m)$ в цепь электрического тока, электроны в витках катушки двигались хаотически и не имели направленного движения. Тока в витках катушки не было. В момент включения катушки $T_1(\xi_{T_1} \cdot m)$ в электрическую цепь, электроны в витках катушки получают направленное движение. Возникает направленный поток электронов $\vec{\Phi}_{|T_1}(\xi_{T_1} \cdot m)_j$. Создаётся электрический ток I_{T_1} .

Так как движение электронов вне проводника представляет собой электромагнитное поле, следовательно, вместе с ростом электрического тока внутри проводника растёт и электромагнитное поле вне проводника.

При замыкании цепи, содержащей источник постоянной ЭДС, определённое значение силы тока устанавливается не сразу, а постепенно, в течение времени Δt **Рис.2.1**. При отключении источника тока в витках катушки ток прекращается не мгновенно, а в течение времени Δt **Рис.2.1**.

Зависимость тока от времени показана на графике **Рис.2.1**.

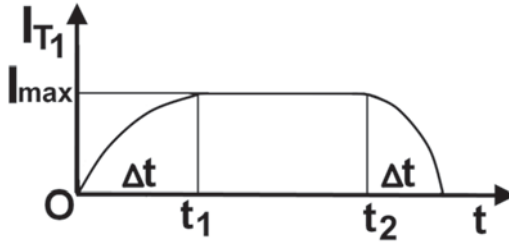


Рис. 2.1

По оси абсцисс отложено время t , а по оси ординат отложена сила тока I_{T1} . За время Δt ток в проводнике витка нарастает до своего максимального значения I_{max} . Если не выключать переключатель **П**, то по достижении своего предельного значения I_{max} электрический ток в проводнике витка на протяжении любого промежутка времени будет оставаться постоянным.

Изменение потока $\vec{\Phi}_{||T1}(\xi_{T1} \cdot m)_j$ электронов $(\xi \cdot m)$ электромагнитного поля вне проводника во времени пропорционально изменению электрического тока внутри проводника и описывается графиком **Рис.2.2**.

Таким образом, за время Δt поток $\vec{\Phi}_{||T1}(\xi_{T1} \cdot m)_j$ электронов электромагнитного поля с нулевой величины достигнет своего максимального значения $\vec{\Phi}_{max}$, заполняя пространство вокруг проводника внутренней катушки.

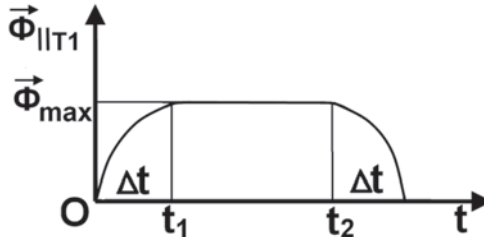


Рис. 2.2

Если за малое время Δt электромагнитный поток меняется на $\Delta \vec{\Phi}_{|T_1}(\xi_{T_1} \cdot m)_j$, то скорость изменения электромагнитного потока равна:

$$\frac{\Delta \vec{\Phi}_{|T_1}(\xi_{T_1} \cdot m)}{\Delta t} \quad (2.1)$$

Сила индукционного тока I_i пропорциональна скорости изменения потока $\vec{\Phi}_{|T_1}(\xi_{T_1} \cdot m)_j$ электронов, создающих электромагнитное поле

$$I_i \approx \frac{\Delta \vec{\Phi}_{|T_1}(\xi_{T_1} \cdot m)}{\Delta t} \quad (2.2)$$

Исследуем процесс образования напряжённости в электромагнитном поле проводника T_1 с током I_{T_1} в точках **C** и **D**.

На **Рис.1.3, b** и **Рис.2.3** показано взаимодействие электронов электромагнитного поля, созданного электронами тока I_{T_1} проводника T_1 с проводником T_2 , расположенном в этом электромагнитном поле.

Напряжённость $\vec{G}_{|T_1}(\xi_{T_1} \cdot m)_j$ электромагнитного поля, созданного проводником $T_1(\xi_{T_1} \cdot m)$, представляет собой отношение направленно движущегося потока $\vec{\Phi}_{|T_1}(\xi_{T_1} \cdot m)_j$ электронов через эквипотенциальную поверхность $|_{T_1}$ электромагнитного поля к площади этой эквипотенциальной поверхности $S_{|T_1}$

$$\vec{G}_{|T_1}(\xi_{T_1} \cdot m)_j = \pm \frac{\vec{\Phi}_{|T_1}(\xi_{T_1} \cdot m)_j}{S_{|T_1}} \quad (2.3)$$

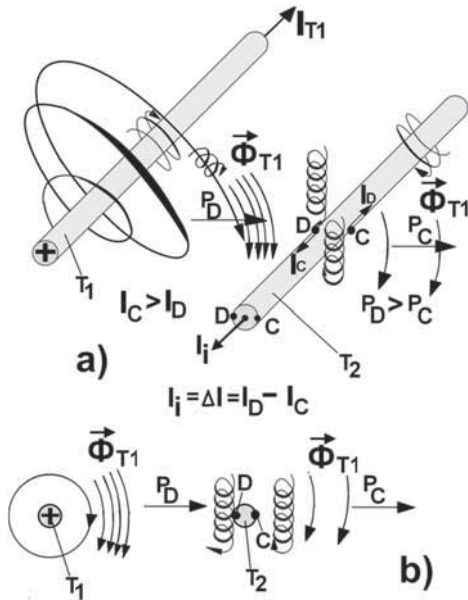


Рис. 2.3

Напряжённость $\vec{G}_{||T_1}(\xi_{T_1} \cdot m)_j$ электромагнитного поля – это способность направленно движущегося потока $\vec{\Phi}_{||T_1}(\xi_{T_1} \cdot m)_j$ электронов $(\xi_{T_1} \cdot m)$, создающих это электромагнитное поле, произвести действие (давление) на материальную субстанцию, внесённую на эквипотенциальную поверхность $||_{T_1}$ электромагнитного поля.

Эта способность реализуется при внесении проводника T_2 в это электромагнитное поле.

Внесём проводник $T_2(\xi_{T_2} \cdot m)$ в электромагнитное поле на эквипотенциальную поверхность $||_{T_1}$ **Рис.2.3.**

В произвольных точках **С** и **Д** проводника T_2 поток $\vec{\Phi}_{||T_1}(\xi_{T_1} \cdot m)_j$ электронов $(\xi_{T_1} \cdot m)$, движущихся по винтовым траекториям вдоль расходящихся винтовых силовых линий элек-

ромагнитного поля проводников катушки $T_1(\xi_{T1} \cdot m)$, создаёт напряжённость $\vec{G}_{|T1}(\xi_{T1} \cdot m)_j$ **Рис.2.3**.

Процессы, происходящие в точках **С** и **Д** проводника T_2 характеризуют любую точку взаимодействия электромагнитного поля с проводником T_2 .

В точке **Д** расходящиеся силовые линии электромагнитного поля проводника первой катушки $T_1(\xi_{T1} \cdot m)$ набегают на электроны проводника второй катушки $T_2(\xi_{T2} \cdot m)$, а в точке **С** электроны удаляются от проводника $T_2(\xi_{T2} \cdot m)$.

Таким образом, в точке **Д** набегающие электроны $(\xi_{T1} \cdot m)$ создают большую напряжённость $\vec{G}_{|T1}(\xi_{T1} \cdot m)_j$, чем удаляющиеся электроны в точке **С** **Рис. 2.3**.

Электроны электромагнитного поля $(\xi_{T1} \cdot m)$ вступят во взаимодействие с электронами $(\xi_{T2} \cdot m)$ проводника $T_2(\xi_{T2} \cdot m)$ и создадут на них давление $\vec{P}_{|T1}\{(\xi_{T1} \cdot m) \rightarrow (\xi_{T2} \cdot m)\}_j$ **Рис. 2.3**.

$$\begin{aligned} \vec{\Phi}_{|T1}(\xi_{T1} \cdot m)_j \rightarrow \vec{G}_{|T1}(\xi_{T1} \cdot m)_j \rightarrow \vec{G}_{|T1}(\xi_{T1} \cdot m)_j \cdot T_2(\xi_{T2} \cdot m) \rightarrow \\ \rightarrow \vec{P}_{|T1}\{(\xi_{T1} \cdot m) \rightarrow (\xi_{T2} \cdot m)\}_j \end{aligned} \quad (2.4)$$

В результате давления, созданного на электроны $(\xi_{T2} \cdot m)$ проводника $T_2(\xi_{T2} \cdot m)$, к ним будет приложена сила $\vec{F}_{|T1}((\xi_{T1} \cdot m) \rightarrow (\xi_{T2} \cdot m))_j$:

$$\begin{aligned} \vec{\Phi}_{|T1}(\xi_{T1} \cdot m)_j \rightarrow \vec{G}_{|T1}(\xi_{T1} \cdot m)_j \rightarrow \vec{G}_{|T1}(\xi_{T1} \cdot m)_j \cdot \\ \cdot T_2(\xi_{T2} \cdot m) \rightarrow \vec{P}_{|T1}\{(\xi_{T1} \cdot m) \rightarrow (\xi_{T2} \cdot m)\}_j \rightarrow \\ \rightarrow \vec{F}_{|T1}\{(\xi_{T1} \cdot m) \rightarrow (\xi_{T2} \cdot m)\}_j \end{aligned} \quad (2.5)$$

В результате приложенной силы электроны ($\xi_{T_2} \cdot m$) проводника $T_2(\xi_{T_2} \cdot m)$ получают ускорение $\vec{g}_{||T_1}(\xi_2)_j$:

$$\begin{aligned} \vec{\Phi}_{||T_1}(\xi_{T_1} \cdot m)_j &\rightarrow \vec{G}_{||T_1}(\xi_{T_1} \cdot m)_j \rightarrow \vec{G}_{||T_1}(\xi_{T_1} \cdot m)_j \cdot T_2(\xi_{T_2} \cdot m) \rightarrow \\ &\rightarrow \vec{P}_{||T_1}\{(\xi_{T_1} \cdot m) \rightarrow (\xi_{T_2} \cdot m)\}_j \rightarrow \vec{F}_{||T_1}\{(\xi_{T_1} \cdot m) \rightarrow (\xi_{T_2} \cdot m)\}_j \rightarrow \\ &\rightarrow \vec{g}_{||T_1}(\xi_{T_2})_j \cdot T_2(\xi_{T_2} \cdot m) \end{aligned} \quad (2.6)$$

Получив ускорение, электроны проводника $T_2(\xi_{T_2} \cdot m)$ начнут двигаться вдоль проводника $T_2(\xi_{T_2} \cdot m)$ со скоростью $\vec{V}_{||T_1}(\xi_{T_2})_j$:

$$\begin{aligned} \vec{\Phi}_{||T_1}(\xi_{T_1} \cdot m)_j &\rightarrow \vec{G}_{||T_1}(\xi_{T_1} \cdot m)_j \rightarrow \vec{G}_{||T_1}(\xi_{T_1} \cdot m)_j \cdot T_2(\xi_{T_2} \cdot m) \rightarrow \\ &\rightarrow \vec{P}_{||T_1}\{(\xi_{T_1} \cdot m) \rightarrow (\xi_{T_2} \cdot m)\}_j \rightarrow \vec{F}_{||T_1}\{(\xi_{T_1} \cdot m) \rightarrow (\xi_{T_2} \cdot m)\}_j \rightarrow \\ &\rightarrow \vec{g}_{||T_1}(\xi_{T_2})_j \cdot T_2(\xi_{T_2} \cdot m) \rightarrow \vec{V}_{||T_1}(\xi_{T_2})_j \end{aligned} \quad (2.7)$$

Набегающий поток $\vec{\Phi}_{||T_1}(\xi_{T_1} \cdot m)_j$ электронов ($\xi_{T_1} \cdot m$) электромагнитного поля ($\xi_{T_1} \cdot m$)_j в момент включения электрического тока I_{T_1} в точке **D** больше, чем удаляющийся поток $\vec{\Phi}_{||T_1}(\xi_{T_1} \cdot m)_j$ электронов ($\xi_{T_1} \cdot m$) в точке **C**. Следовательно, большее число электронов ($\xi_{T_2} \cdot m$) будет выбито с электронных уровней атомов проводника $T_2(\xi_{T_2} \cdot m)$ в точке **D Рис. 2.3,б**, чем в точке **C**. Направленное движение электронов представляет собой индукционный электрический ток.